

【发现与进展】

doi: 10.12029/gc20200331

皖东池河地区发现印支期变质事件:来自魏岗山岩体变质锆石U-Pb年龄的证据

钱辉¹, 邓佳良¹, 王翔^{1,2}, 汪雅菲¹

(1. 安徽省地质调查院,安徽 合肥 230001; 2. 中国地质大学地质过程与矿产资源国家重点实验室,湖北 武汉 430074)

Indo-Chinese epoch metamorphism event found in Chihe area, eastern Anhui: Evidence from U-Pb age of metamorphic zircon from Weigangshan rock mass

QIAN Hui¹, DENG Jialiang¹, WANG Xiang^{1,2}, WANG Yafei¹

(1. Anhui Institute of Geological Survey, Hefei 230001, Anhui, China; 2. State Key Laboratory of Geological Processes and Mineral Resources, School of Earth Sciences, China University of Geosciences, Wuhan 430074, Hubei, China)

1 研究目的(Objective)

郯庐断裂带是中国东部规模最大的断裂带,在中国境内长达2400 km,是华北陆块与扬子陆块的重要边界断裂(图1a)。本次在皖东池河地区、郯庐断裂带(安徽段)西界断裂(池河—太湖断裂)以西的魏岗山岩体中(图1b),发现了印支期变质事件的记录(变质作用时间为 $(210.3\pm1.8)\text{Ma}$, MSWD=2.8)。该变质事件的发现与研究,为郯庐断裂带(安徽段)西界断裂位置的确定提供了新的依据。

2 研究方法(Methods)

魏岗山岩体位于安徽省池河镇以东南约10 km处,呈岩株状产出,面积约 0.45 km^2 ,四周被第四系掩盖(图1b)。岩性为浅灰色、浅肉红色片麻状花岗岩,鳞片粒状变晶结构,片麻状构造(图1e),主要由条纹长石(50%)、石英(25%)、斜长石(10%)、微斜长石(10%)及少量黑云母(3%~5%)组成,矿物具断续定向排列特征。本次测试样品(WSG-TW₁)采自魏岗山岩体中部($117^\circ 55' 43.75''\text{E}$; $32^\circ 28' 29.35''\text{N}$) (图1b)。样品的锆石分选工作由河北廊坊地质调查研究所完成。LA-ICP-MS锆石U-Pb同位素定年在武汉上谱分析科技有限公司完成。数据采用 ^{204}Pb 校正法对普通铅进行校正。

3 研究结果(Results)

魏岗山片麻状花岗岩的锆石颗粒大小30~150 μm ,长宽比1:1~2:1。其阴极发光图像显示(图

1c),锆石内部特征为弱分带、震荡环带结构、核边结构,部分为面状分带结构。锆石Th/U为0.02~0.03,显示变质锆石特征。锆石U-Pb测试结果见表1,谐和年龄为 $(210.3\pm1.8)\text{Ma}$, MSWD=2.8(图1d),代表了魏岗山岩体遭受变质作用的时间。

4 结论(Conclusions)

魏岗山岩体记录的印支期变质事件的变质作用时间为 $(210.3\pm1.8)\text{Ma}$ (MSWD=2.8),与大别造山带折返时间(225~200 Ma)相对应,是池河—太湖断裂(原郯庐断裂带安徽段西界)以西的首次发现。该变质事件的发现,一方面说明魏岗山岩体属大别造山带,是郯庐断裂带左行平移携带至池河地区的,暗示郯庐断裂带开启/或大规模平移活动应发生在大别造山带折返之后;另一方面还说明池河—太湖断裂并不是郯庐断裂带(安徽段)的西界,其西界可能位于魏岗山岩体以西、炼铺以东的合肥盆地内(图1b)。

5 致谢(Acknowledgements)

感谢中国地质调查局和安徽省的支持!

基金项目:本文为中国地质调查局地质调查项目(1212011120849)和安徽省国土资源厅公益性地质调查项目(2013-g-1)资助的成果。

作者简介:钱辉,男,1964年生,高级工程师,从事区域地质矿产调查工作。

通讯作者:邓佳良,男,1987年生,工程师,从事构造地质学研究;E-mail: 460862353@qq.com。

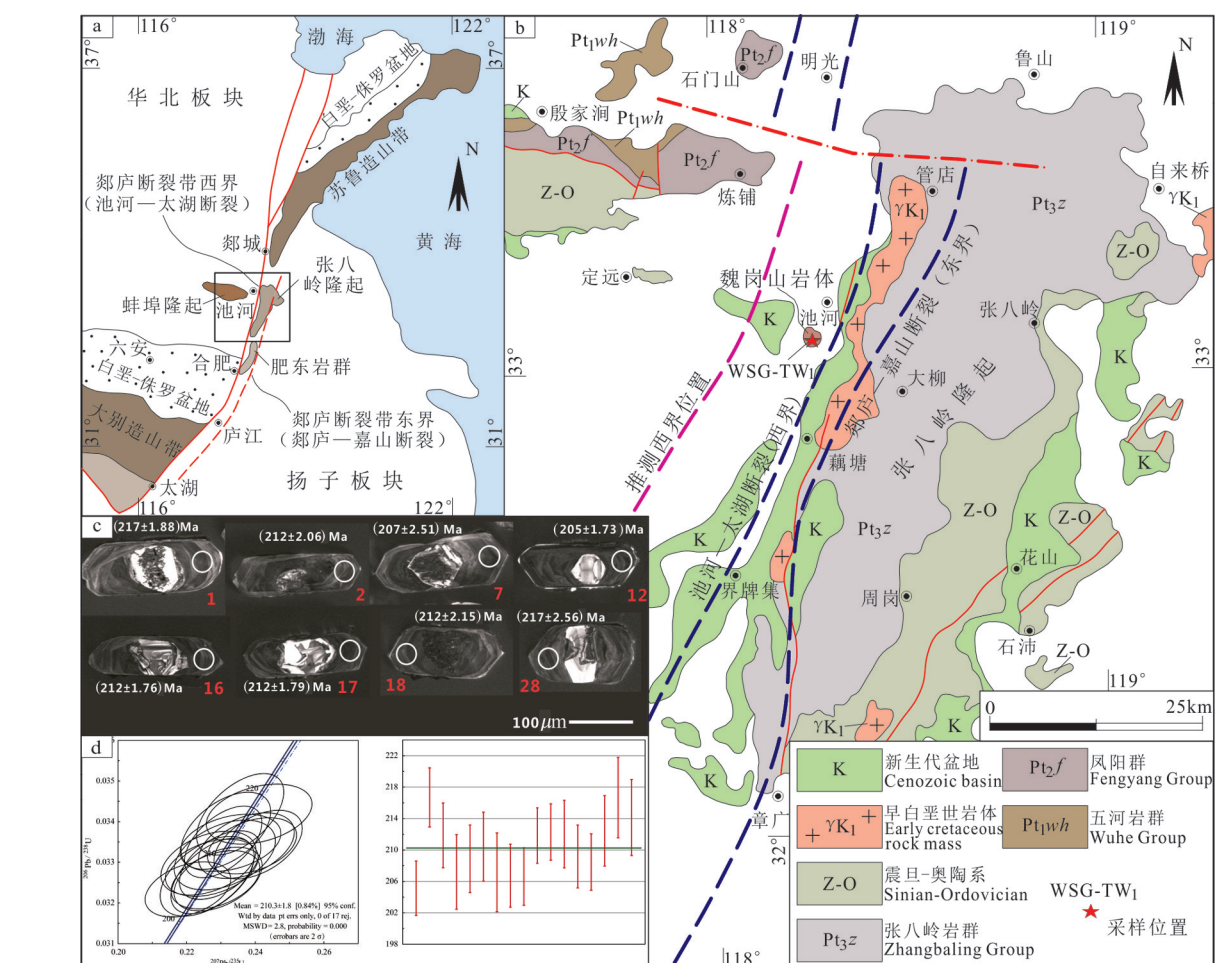


图1 池河地区及邻区地质简图

Fig. 1 Simplified geological map of Chihe area and adjacent areas

表1 魏岗山岩体LA-ICP-MS锆石U-Pb测试结果

Table 1 Zircon LA-ICP-MS U-Pb data of the Weigangshan rock mass

| 序号 | 点号 | 元素含量/ 10^{-6} | | Th/U | 同位素比值 | | | | | | 年龄/Ma | | | | | | |
|----|-------------------------|-----------------|-------------------|------------------|-----------------------------------|-----------|----------------------------------|-----------|----------------------------------|-----------|-----------------------------------|-----------|----------------------------------|-----------|----------------------------------|-----------|------|
| | | Pb | ^{232}Th | ^{238}U | $^{207}\text{Pb}/^{206}\text{Pb}$ | 1σ | $^{207}\text{Pb}/^{235}\text{U}$ | 1σ | $^{206}\text{Pb}/^{238}\text{U}$ | 1σ | $^{207}\text{Pb}/^{206}\text{Pb}$ | 1σ | $^{207}\text{Pb}/^{235}\text{U}$ | 1σ | $^{206}\text{Pb}/^{238}\text{U}$ | 1σ | |
| 1 | WSG-TW _i -01 | 39.05 | 30.7 | 1134 | 0.0271 | 0.0511 | 0.0013 | 0.2411 | 0.0063 | 0.0342 | 0.0003 | 256 | 59.25 | 219 | 5.15 | 217 | 1.88 |
| 2 | WSG-TW _i -02 | 40.74 | 27.8 | 1225 | 0.0227 | 0.0516 | 0.0012 | 0.2374 | 0.0057 | 0.0334 | 0.0003 | 265 | 53.70 | 216 | 4.68 | 212 | 2.06 |
| 3 | WSG-TW _i -03 | 60.59 | 38.8 | 1856 | 0.0209 | 0.0503 | 0.0009 | 0.2276 | 0.0050 | 0.0327 | 0.0004 | 209 | 42.59 | 208 | 4.10 | 207 | 2.37 |
| 4 | WSG-TW _i -04 | 55.63 | 36.7 | 1674 | 0.0219 | 0.0504 | 0.0010 | 0.2298 | 0.0048 | 0.0329 | 0.0003 | 213 | 44.44 | 210 | 4.00 | 209 | 2.15 |
| 5 | WSG-TW _i -06 | 45.19 | 30.8 | 1342 | 0.0230 | 0.0502 | 0.0012 | 0.2311 | 0.0060 | 0.0332 | 0.0004 | 211 | 57.40 | 211 | 4.97 | 210 | 2.20 |
| 6 | WSG-TW _i -07 | 43.99 | 32.0 | 1334 | 0.0240 | 0.0499 | 0.0012 | 0.2260 | 0.0056 | 0.0327 | 0.0004 | 191 | 27.77 | 207 | 4.64 | 207 | 2.51 |
| 7 | WSG-TW _i -10 | 39.47 | 25.4 | 1192 | 0.0213 | 0.0507 | 0.0011 | 0.2292 | 0.0052 | 0.0326 | 0.0003 | 228 | 49.99 | 210 | 4.33 | 207 | 2.00 |
| 8 | WSG-TW _i -12 | 33.40 | 32.2 | 1011 | 0.0319 | 0.0493 | 0.0011 | 0.2204 | 0.0051 | 0.0323 | 0.0003 | 161 | 53.70 | 202 | 4.24 | 205 | 1.73 |
| 9 | WSG-TW _i -14 | 37.41 | 33.6 | 1125 | 0.0299 | 0.0507 | 0.0012 | 0.2284 | 0.0053 | 0.0326 | 0.0003 | 233 | 51.84 | 209 | 4.37 | 207 | 1.83 |
| 10 | WSG-TW _i -16 | 41.31 | 30.8 | 1225 | 0.0252 | 0.0518 | 0.0012 | 0.2391 | 0.0053 | 0.0334 | 0.0003 | 276 | 45.37 | 218 | 4.35 | 212 | 1.76 |
| 11 | WSG-TW _i -17 | 37.00 | 25.9 | 1104 | 0.0235 | 0.0502 | 0.0012 | 0.2328 | 0.0060 | 0.0335 | 0.0003 | 211 | 55.55 | 212 | 4.94 | 212 | 1.79 |
| 12 | WSG-TW _i -18 | 55.08 | 37.9 | 1659 | 0.0229 | 0.0521 | 0.0011 | 0.2408 | 0.0053 | 0.0334 | 0.0003 | 300 | 48.14 | 219 | 4.30 | 212 | 2.15 |
| 13 | WSG-TW _i -23 | 48.36 | 39.2 | 1497 | 0.0262 | 0.0496 | 0.0012 | 0.2264 | 0.0057 | 0.0330 | 0.0003 | 176 | 55.55 | 207 | 4.69 | 209 | 2.00 |
| 14 | WSG-TW _i -24 | 45.13 | 37.7 | 1394 | 0.0271 | 0.0500 | 0.0012 | 0.2273 | 0.0055 | 0.0329 | 0.0003 | 195 | 58.32 | 208 | 4.57 | 208 | 1.80 |
| 15 | WSG-TW _i -26 | 56.79 | 43.5 | 1729 | 0.0252 | 0.0498 | 0.0009 | 0.2307 | 0.0046 | 0.0335 | 0.0004 | 187 | 42.58 | 211 | 3.80 | 212 | 2.25 |
| 16 | WSG-TW _i -28 | 42.50 | 28.3 | 1275 | 0.0222 | 0.0499 | 0.0011 | 0.2356 | 0.0052 | 0.0342 | 0.0004 | 191 | 48.14 | 215 | 4.26 | 217 | 2.56 |
| 17 | WSG-TW _i -29 | 46.50 | 33.5 | 1402 | 0.0239 | 0.0496 | 0.0011 | 0.2314 | 0.0053 | 0.0338 | 0.0004 | 176 | 54.62 | 211 | 4.40 | 214 | 2.42 |